

宮崎大学工学部 正員 橋田 漢

1. おもがき 二層地盤あるいは道路舗装などのように、地盤上に板があるときの構造系に何らかの動荷重が作用する場合の板-地盤系の相互作用の問題の一つとして、著者は先に Bernoulli-Euler 型の板を対象にして解析を行った。しかし、これを舗装問題はともかく、二層地盤に直接適用することはかなり不合理な面があり、ここに、二層地盤に対する一つの近似解法を提示するものである。二層地盤は厳密に取り扱うことは複雑であり、板の変形による抵抗力の影響を考慮し、また慣性力による効果を加えた板(Timoshenko type plate)理論は二層地盤の特性をかなり近似的に表現出来るといわれている²⁾。本論文は、このような板に、前回と同様、円型等分布荷重が周期的に作用する場合、地盤を半無限弾性体と仮定して解析を行ったのである。

2. 解法 図-1において、板の振動は次式で与えられる³⁾。

$$\left(\nabla^2 - \frac{g}{q} \frac{\partial^2}{\partial t^2} \right) D \nabla^2 - \frac{g H^3}{12} \frac{\partial^2}{\partial t^2} \bar{W} + g H \frac{\partial \bar{w}}{\partial t}$$

$$= \left(1 - \frac{D}{qH} \nabla^2 + \frac{g H^2}{12 q} \frac{\partial^2}{\partial t^2} \right) \bar{w}$$

:= 11

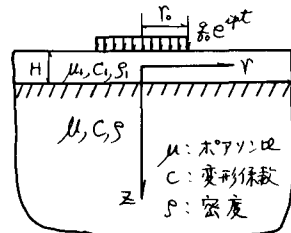
$$q' = k^2 Q_1, \quad \beta = \beta_2 - \beta_1, \quad \nabla^2 = \frac{\partial^2}{\partial r^2} + \frac{1}{r} \frac{\partial}{\partial r} + \frac{1}{r^2} \frac{\partial^2}{\partial \theta^2}$$

β_2 : 上載荷重, q : 地盤反力

変形の並行条件および定常状態を考えれば、上式は

$$\left[\left(\nabla^2 + \frac{g H^3}{12 D} \beta^2 \right) \left(\nabla^2 + \frac{g}{q} \beta^2 \right) - \lambda^4 \right] \cdot W(r)$$

図-1



$$= \frac{1}{D} \left(1 - \frac{D}{qH} \nabla^2 - \frac{g H^2}{12 q} \beta^2 \right) [Q_2(r) - Q_1(r)]$$

$$:= 12 \quad \lambda^4 = g H \beta^2 / D, \quad \bar{w} = W(r) e^{i \omega t}, \quad q = [Q_2(r) - Q_1(r)] e^{i \omega t}$$

他方、半無限弾性体に因して変位、応力は

$$w = [A_0 \frac{\alpha}{R^2} e^{-\alpha Z'} - C_0 \frac{k^2}{j^2} e^{jkZ'}] H_0^{(2)}(kr) e^{i \omega t}$$

$$Q_2 = G \left[A_0 \frac{-2k^2 + j^2}{R^2} e^{-\alpha Z'} + 2C_0 \frac{\beta k^2}{j^2} e^{-jkZ'} \right] H_0^{(2)}(kr) e^{i \omega t} \quad (2)$$

$$G_{2r} = G \left[A_0 \frac{2\alpha}{R^2} e^{-\alpha Z'} - C_0 \frac{k^2 + \beta^2}{j^2} e^{-jkZ'} \right] \frac{\partial H_0^{(2)}(kr)}{\partial r} e^{i \omega t}, \quad C_{2\theta} = 0$$

:= 13

$$k^2 = \alpha^2 + R^2 = \beta^2 + j^2, \quad R = P/D, \quad j = P/D\tau, \quad Z' = Z - H/2$$

今、上式より $Z \rightarrow \infty$ のとき変位、応力が 0 まで進行波に限られる Z' , α , β は正の実数又または正の虚数を意味する。

板と地盤との接觸面 ($Z = 0$) に 2 次のようないくつ連続条件式を導入する。

$$[w]_{z=0} = \bar{w}, \quad [Q_2]_{z=0} + f_1 = 0, \quad [G_{2r}]_{z=0} = 0 \quad (3)$$

又、上載荷重 q_2 を Fourier-Bessel 積分で表示すれば

$$Q_2(r) = \frac{P}{\pi R} \int_0^\infty J_1(kr) J_0(kr) dk \quad (4)$$

式(1), (2), (4)及び(5)より積分定数 A_0 , C_0 を決定し, 板のたわみ \bar{w} 及び地盤の応力 Ω_2 を求め得る.
結局、次式で与えられる。

$$\bar{w} = \frac{P \cdot H^2}{\pi C D R_0} \int_{-\infty}^{\infty} \bar{U}(s) ds \cdot e^{i \omega t}, \quad \bar{U}(s) = \frac{\gamma (1 + \bar{E}(s))}{|\bar{K}(s) - \bar{E}(s)|} J_1(s a_0) J_0(s a) \quad (5)$$

$$\Omega_2 = \frac{P G}{\pi D} H \int_{-\infty}^{\infty} \bar{V}(s) ds \cdot e^{i \omega t}, \quad \bar{V}(s) = \frac{a_0}{R_0} \frac{1 + \bar{E}(s)}{|\bar{K}(s) - \bar{E}(s)|} \Omega_2(s) J_1(s a_0) J_0(s a) \quad (6)$$

$$\begin{aligned} \bar{K}(s) &= \gamma \varepsilon^3 s^4 - 6 \frac{\bar{P}}{s} (1 - \mu_1) \gamma \varepsilon - 6 \frac{1 - \mu_1}{s} R(s), \quad R(s) = (2s^2 - 1)^2 - 4s^2 \nu \nu' \\ \bar{E}(s) &= 6 \frac{1 - \mu_1}{s} \bar{E}(s) R(s) + \frac{\bar{P}}{s^2} (1 - \mu_1) (1 + \frac{2}{K^2(1 - \mu_1)}) \varepsilon^2 \nu \gamma^2 - \frac{1 - \mu_1}{2K^2} (\frac{\bar{P}}{s})^2 \varepsilon^3 \nu \\ \bar{E}(s) &= \frac{\varepsilon^2}{6(1 - \mu_1) K^2} s^2 - \frac{\varepsilon^2 \bar{P}}{12 K^2 s}, \quad \Omega_2(s) = (2s^2 - 1)^2 e^{-\nu z'} - 4s^2 \nu \nu' e^{-\nu z'}, \quad \nu = (s^2 - \delta^2)^k \\ s' &= (s^2 - 1)^k, \quad s = \delta / s', \quad \varepsilon = a_0 / R_0 = jH, \quad a_0 = r_0 / \delta, \quad R = r_0 / H, \quad q = \bar{q}_1 / \bar{q}, \quad \bar{s} = \delta / \delta, \quad \delta = \delta / \delta \end{aligned}$$

3. 対例 $\gamma = 1/6, \mu = 1/4 (x = G), \bar{s}_1 = 2.3 \text{ g/cm}^2$

表-1

\bar{K}	a_0	値
10	0.1	1.1124996361200
	0.2	1.1362609009350
	0.3	1.1512489034030
	0.4	1.1516948772778
	0.5	1.1383396822024
	0.6	1.1163203029226
	0.7	1.0908116819391
	0.8	1.0653596044242
	0.9	1.0421300453558
	1.0	1.0225708722415
10^3	0.1	1.0635320194521

$\bar{s} = 1.8 \text{ g/cm}^2$ とする $R = 1.0$ とし, $\bar{K} = \bar{q}_1 / \bar{q}$ とする a_0 の種々の値に対して
2. 荷重中心点 ($a=0$)における板のたわみ \bar{w} 及び地盤の応力 Ω_2 を求める(以下の通りである)。

式(5), (6)の被積分函数は、たとえば表-1に示すようく極限を取れ
ており、この発散積分を何とかの形で正則化するように積分路を選び
なければならず、いま、 γ , ν , ν' (無限遠) 条件を満足するような
四一式で示すような積分路を選び。

これと同様、式(5), (6)の積分は、たとえば

$$[\bar{w}]_{a_0} = \frac{P \cdot H^2}{\pi C D R_0} \left[\bar{V} \cdot P \int_{-\infty}^{\infty} \bar{U}(s) ds - i \bar{K} \operatorname{Res}(\bar{U}(s), \bar{s}_R) \right] \cdot e^{i \omega t}$$

であるが、上式の数値計算の結果を

$$[\bar{w}]_{a_0} = \frac{P \cdot H^2}{\pi C D R_0} \left[f_1(\bar{K}, a_0) + i f_2(\bar{K}, a_0) \right] \cdot e^{i \omega t}$$

$$[\Omega_2]_{a_0} = \frac{P G}{\pi D} H \left[f_{11}(\bar{K}, a_0) + i f_{12}(\bar{K}, a_0) \right] e^{i \omega t}$$

である、その一部を図-3 に示す。

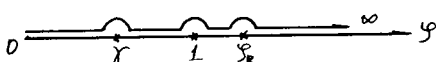


図-2

(参考文献)

1) 横田、「直角周期荷重による弾性地盤上の板の相互作用」,

九大工学集報, 第45巻, 第2号, 昭和47年3月

2) J. D. Achenbach "Free Waves in a plate supported by a Semi-Infinite Continuum", *Jour. of Appl. Mech.*, June (1967), Vol 34.

3) R. D. Mindlin, "Influence of Rotatory Inertia and Shear on Flexural Motion of Isotropic Elastic Plates", *Jour. of Appl. Mech.*, Vol 18, 1951

図-3

